



Journal of Aerospace Defense

Volume 3, Issue 4

Winter

P.P. 1-21



Research Paper;

Fabrication of High-Performance Supercapacitor Based on Nickel Metal-Organic Framework /Titanium Carbide Mexen/Graphene Aerogel Nanocomposite for Use Military Devices

Seyyed Mehdi Khoshfetra¹, Mansour Haddadi Dolatabadi², Mohammad Reza Baezzat³

1. Assistant Professor, Chemistry Research Laboratory, Faculty of Basic Sciences, Ayatollah Boroujerdi University, Postal Code, 69737-69199 Boroujerd, Iran

2. Department of Chemistry Payame Noor University Tehran Iran.

3. Department of Chemistry Payame Noor University Tehran Iran.

Article Information

Accepted:
2024/09/01

Received:
2024/12/21

Keywords:

*Supercapacitor,
Nickel MOF,
Mxene, Graphene
Aerogel,
Military Devices*

**Corresponding
Author:**

Email:

*sm.khoshfetra@
abru.ac.ir
mrbaezzat@pnu.a
c.ir

Abstract

Supercapacitors are gaining attention for their high-power density, long lifespan, and rapid charge-discharge capabilities (Especially its use in defense industries and military equipment). The performance of these devices heavily relies on their electrode materials. A nickel-based metal-organic framework (Ni-MOF) with a high specific surface area was synthesized to enhance energy storage. To improve electrical conductivity and capacitive properties, titanium carbide MXene (Ti_3C_2 MXene) and graphene (Gr) were incorporated into the MOF. This combination was deposited onto nickel foam (NF) via a hydrothermal method, which allowed for better surface area utilization by reducing aggregation between Gr and MXene layers and facilitating electrolyte transport through the conversion of graphene oxide to Gr. The inclusion of Ni-MOF also enhances the quasi-capacitive properties due to its electroactivity. The Ni-MOF/MXene/Gr/NF electrode achieved a specific capacitance of 845 F g^{-1} in a 3 M KOH electrolyte, while the cathode (graphene aerogel integrated with activated carbon, C-GA/NF) exhibited a capacitance of 373.5 F g^{-1} . For the asymmetric supercapacitor configuration (Ni-MOF/MXene/Gr/NF||C-GA/NF), a specific capacitance of 637 F g^{-1} , specific energy of 22.8 W h kg^{-1} , and specific power of 0.69 kW kg^{-1} were recorded. Additionally, the device maintained 55.2% of its initial capacity after 5000 charge-discharge cycles at a current density of 8 A g^{-1} , indicating excellent stability and cycle life. Taken together, these features facilitate the use of this device in military and defense equipment.

Mansur , Hadadi , Khoshfetra , Seyed Mehdi , Baezzat, Mohamadreza;.(2025). Fabrication of High-Performance Supercapacitor Based on Nickel Metal-Organic Framework /Titanium Carbide Mexen/Graphene Aerogel Nanocomposite for Use Military Devices. Journal of Aerospace Defense, Vol 3(Issue4), Page 1-20



فصلنامه علمی دفاع هوافضایی

دوره ۳، شماره ۴
زمستان
۲۱-۱ صص



مقاله پژوهشی:

ساخت ابرخازن با کارایی بالا بر پایه نانوکامپوزیت شبکه فلز-آلی نیکل/تیتانیم کربید مکسین/گرافن ایروژل جهت استفاده در تجهیزات نظامی

سید مهدی خوش فطرت^۱، منصور حدادی دولت آبادی^۲، محمدمرضا باعزت^۳

۱. استادیار، آزمایشگاه تحقیقاتی شیمی، دانشکده علوم پایه، دانشگاه آیت‌الله بروجردی، کد پستی، ۶۹۱۹۹-۶۹۷۳۷ بروجرد، ایران

۲. گروه شیمی دانشگاه پیام نور تهران ایران

۳. گروه شیمی دانشگاه پیام نور تهران ایران

چکیده

ابرخازن‌ها به عنوان یک فناوری نوظهور در خیره‌سازی انرژی در تجهیزات نظامی، به دلیل چگالی توان بالا، عمر طولانی و سرعت شارژ-دشارژ‌سریع، توجه زیادی را به خود جلب کرده‌اند. اجزای کلیدی این دستگاه‌ها، مواد الکتروودی است که به طور مستقیم بر ظرفیت ذخیره‌سازی انرژی و کارایی آنها تأثیر می‌گذارد. به این منظور، مواد با چهارچوب فلز-آلی برپایه نیکل (Ni-MOF) با سطح ویژه بالا و تخلخل مناسب، سنتز شد. برای افزایش هدایت الکتریکی و خاصیت خازنی، چهارچوب فلز-آلی، مکسین تیتانیوم کربید (Ti3C2) و گرافن (Gr) افزوده شدند. ترکیب این مواد به روش هیدروترمال بر سطح فوم نیکل (NF) نشانده شد. در این فرایند رشد نانو مواد MOF بین لایه‌ها، نه تنها با کاهش تجمع بین لایه‌های گرافن و مکسین، نقش مهمی در افزایش سطح در دسترس Ni-MOF/MXene/Gr/NF ایفا می‌کند، بلکه با تبدیل گرافن اکسید به گرافن، مسیرهای زیادی را برای انتقال الکتروولیت فراهم می‌سازد. همچنین، استفاده از Ni-MOF باعث افزایش خاصیت شبکه‌خازنی سیستم به دلیل الکتروفعال بودن نیکل می‌شود. ظرفیت ویژه الکتروود Ni-MOF/MXene/Gr/NF به عنوان آند در الکتروولیت KOH ۳ مولار، مقدار F^{-} ۵۵/۲ و برای الکتروود کاتد در قطب منفی (گرافن ایروژل (GA)) ترکیب شده با کربن C-GA/NF، مقدار $F\cdot g^{-1}$ ۵.۳۷۳ ثبت شد و برای ابرخازن نامتنازن F-فعال W MOF/MXene/Gr/NF/C-GA/NF ظرفیت ویژه $F\cdot g^{-1}$ ۱Ag⁻¹، انرژی ویژه $W\cdot h kg^{-1}$ ۸/۲۲ و توان ویژه $kW kg^{-1}$ ۶۹/. بدست آمد. و همچنین ظرفیت باقیمانده ۵۵/۲٪ ظرفیت اولیه بعد از طی ۵۰۰۰ چرخه شارژ-دشارژ در چگالی جریان Ag⁻¹ نشان دهنده پایداری و طول عمر چرخه‌ای بالای دستگاه موردنظر می‌باشد.

اطلاعات مقاله

تاریخ دریافت:
۱۴۰۳/۰۶/۱۱

تاریخ پذیرش:
۱۴۰۳/۱۰/۰۱

کلیدواژه‌ها:

ابرخازن، شبکه فلز-آلی نیکل، مکسین، گرافن، ایروژل، تجهیزات نظامی)

نویسنده مسئول:

ایمیل:

sm.khoshfetrat@abru.ac.ir
**mrbaezat@pnu.ac.ir

استناد: حدادی منصور، خوش فطرت سید مهدی ، باعزت محمد رضا. (۱۴۰۳). ساخت ابرخازن با کارایی بالا بر پایه

نانوکامپوزیت شبکه فلز-آلی نیکل/تیتانیم کربید مکسین/گرافن ایروژل، دفاع هوافضایی، دوره ۳ (شماره ۴)، صفحه ۱-۲۰

۱- مقدمه

تقاضای روزافزون برای راه حل های ذخیره سازی انرژی کارآمد، باعث پیشرفت های قابل توجهی در زمینه ابرخازن ها شده است و به دلیل چگالی توان بالا، قابلیت شارژ-تخليه سریع و عمر چرخه طولانی، موجب کاربرد گسترده آن در اتمبیل های هیبریدی، وسایل الکترونیکی قابل حمل تا تجهیزات نظامی و دفاعی شده است [۱-۳-۲]. در راستای توسعه مواد، فناوری های ذخیره انرژی الکتروشیمیایی، اکنون نقش امیدوار کننده تری را در تلاش های جهانی برای رسیدن به چالش های حمایتی انرژی پایدار بازی می کنند [۴-۵]. باتری های قابل شارژ و ابرخازن های با انرژی بالا که قابلیت توان بالا و عمر چرخه ای طولانی دارند در حد گسترده ای بررسی شده اند [۶-۷]. در وسایل هیبریدی یا ابرخازن ها هر دو ویژگی های باتری های قابل شارژ و ابرخازن ها در یک دستگاه با هم ترکیب شده اند بنابراین رفتار ابرخازنی به هر دوی باتری های قابل شارژ و ابرخازن ها شبه است دارد در حالی که این وسایل یک ظرفیت بزرگ دارند که با توان ظرفیت انرژی بالاتر و یک ابر شارژر با ظرفیت شارژ-دشارژ طولانی تر از باتری های قابل شارژ عمل می کنند [۸]. ساخت وسایل هیبریدی با هدف افزایش موثر ولتاژ کلی سلول، یکی از روش هایی است که در سال های اخیر انجام گرفته است. در میان مواد مختلفی که برای افزایش عملکرد ابرخازن ها مورد بررسی قرار گرفته اند، مواد کامپوزیتی به دلیل توانایی آنها در ترکیب خواص مفید اجزای جداگانه، بر جسته می شوند. در سال های اخیر، ترکیبی از گرافن (Gr)، مکسین (MXene) و چارچوب های فلز-آلی (MOFs) به عنوان یک ماده امیدوار کننده برای الکترودهای ابرخازن توجه قابل توجهی را به خود جلب کرده است. گرافن که به دلیل رسانایی الکتریکی استثنایی، سطح بزرگ و استحکام مکانیکی مشهور است، یک پلت فرم عالی برای ذخیره بار الکتریکی فراهم می کند. مواد کربنی متفاوت دو بعدی از قبیل گرافدین، گرافن به طور موفقیت آمیزی سنتز شده و در سیستم های ذخیره انرژی و وسایل تبدیل انرژی به کار برده شده است [۹]. به دلیل برهم کنش های قوی و اندر والسی بین لایه های گرافن آنها مستعد جمع شدن مجدد و تشکیل توده های فشرده هستند برای رسیدن به این هدف آیروژل های پایه گرافنی که بر همکنش های داخلی با چهارچوب سه بعدی دارند که باعث تسهیل سرعت انتقال یون الکترون می شوند تهیه شده اند [۱۰]. MXene، یک

ماده دو بعدی جدید که از کاربیدهای فلزات واسطه، کربنیتریدها یا نیتریدها تشکیل شده است، هدایت الکتریکی، آب دوستی و شیمی سطح قابل تنظیم را ارائه می دهد که برای کاربردهای الکتروشیمیایی بسیار مهم هستند. **Mxene** دارای پتانسیل الکتروشیمیایی بالایی است که ذخیره انرژی بیشتری را ممکن می سازد. این ویژگی **Mxene** را به عنوان یک ماده الکتروود مناسب برای استفاده در ابرخازن های الکتریکی تبدیل می کند. به دلیل ساختار لایه ای و پتانسیل الکتروشیمیایی بالا، **Mxene** بازده الکتروشیمیایی بالایی را نشان می دهد، انتقال الکترون و یون را بهبود می بخشد و عملکرد ابرخازن های را که از آن استفاده می کنند، بهبود می بخشد. علاوه بر خواص الکتروشیمیایی، دارای مقاومت مکانیکی بالا و مقاومت فشاری مناسبی است که آن را به یک ماده الکتروود مطلوب برای ساخت ابرخازن های الکتریکی تبدیل می کند. استفاده از **Mxene** به عنوان یک ماده الکتروود در ابرخازن های الکتریکی باعث بهبود کارایی، پایداری و طول عمر آنها می شود و ذخیره انرژی بیشتر را ممکن می سازد [۱۱-۱۲]. در همین حال، **MOF** ها، با تخلخل و عملکرد شیمیایی بسیار قابل تنظیم، به افزایش انتقال یون کمک می کنند و مکان های فعال اضافی را برای ذخیره بار فراهم می کنند. با این حال چهار چوب های فلز-آلی با داشتن سطح مقطع تماشی بیشتر از ۷۰۰۰ از کربن فعال شده به طور بالقوه برتری بیشتری نسبت به الکتروودهای فعال شده کربنی در^۱ **EDLC** دارند که به دلیل نشر انتقال بار در بین ساختار **MOF** و باز تولید رفتار کاتیون های فلزی می باشد. این نانو ساختارها به صورت موفقیت آمیزی به عنوان مواد الکتروودی در وسایل ذخیره انرژی به کار برده شده است [۱۳-۱۴]. ابرخازن های الکتروشیمیایی به دلیل توانایی های بالای ذخیره سازی انرژی و توان خروجی سریع، در سیستم های ناوبری دفاعی برای تأمین انرژی در تجهیزات الکترونیکی، سلاح ها و سیستم های ناوبری استفاده می شوند. این فناوری به افزایش کارایی و کاهش وزن سیستم ها کمک می کند [۱۵]. ترکیب هم افزای گرافن، **MXene** و **MOF** ها در مواد کامپوزیتی، از قدرت هر جزء استفاده می کند که منجر به بهبود عملکرد الکتروشیمیایی، از جمله ظرفیت بالاتر، چرخه های شارژ-دشارژ سریع تر، و پایداری طولانی مدت

^۱ Electric Double Layer Capacitor

بیشترمی شود. این مقاله به بررسی پتانسیل این مواد کامپوزیتی در توسعه الکترودهای ابرخازن نسل بعدی می‌پردازد، مزایای ساختاری، رفتار الکتروشیمیایی و چالش‌هایی که در بهینه‌سازی عملکرد آنها برای کاربردهای عملی باقی می‌ماند را برجسته می‌کند. در این مطالعه یک ابرخازن نامتقارن با استفاده از آیروژل Ni-گرافن/کربن (C-GA) به عنوان الکترود کاتد و نانو کامپوزیت MOF/MXene/Gr هیدروترمال تک مرحله‌ای سنتز شدند و خواص الکتروشیمیایی آنها از طریق روش‌های ولتاوری چرخه‌ای (CV)، و شارژ-دشارژ گالوانو استاتیک (GCD) بررسی و اندازه گیری شد. الکترود C-GA/NF عملکرد الکتروشیمیایی خوب و ظرفیت ویژه g^{-1} ۳۷۳/۵ F در چگالی جریان A g^{-1} ۱ و الکترود Ni- MOF/MXene/Gr/NF یک ظرفیت ویژه بالای g^{-1} ۸۵۴/۲ F در چگالی جریان A g^{-1} ۱ را نمایش می‌دهند. ابرخازن نامتقارن C-GA//MOF/MXene/Gr عملکرد الکتروشیمیایی بسیار خوبی از قبیل ظرفیت ویژه بالای g^{-1} ۶۳۷ F در جریان A g^{-1} ۱، پایداری چرخه‌ای عالی با $55/2$ درصد ظرفیت باقیمانده پس از ۵۰۰۰ چرخه در A g^{-1} ۸، انرژی ویژه Wh Kg^{-1} ۲۲/۸۱ ، توان ویژه بالاتر از Kw Kg^{-1} ۰/۶۹ نشان می‌دهد.

۲- بخش تجربی

۲-۱ مواد

آبی بروموفنل (Bromophenol Blue (Bro)), مکسین تیتانیوم کربید $(\text{Ti}_3\text{C}_2\text{MXene})$ ، گرافن اکسید^۱ (GO)، N-N-دی متیل فرمامید (DMF)، پتانسیم هیدروکسید (KOH)، فوم نیکل (NF)، پلی وینیلیدین فلورايد (PVDF)، اتانول، N-Methyl-2-pyrrolidone (NMP)، استون، سدیم دی هیدروژن فسفات $(\text{NaH}_2\text{PO}_4)$ ، پتانسیم کلرید (KCl)، سولفوریک اسید (H_2SO_4) و سدیم سولفات (Na_2SO_4) از شرکت Merck و Sigma-Aldrich خریداری شد. گرافیت مش ۳۲۵، کربن فعال^۲ (C)، اوره $(\text{CO}(\text{NH}_2)_2)$ و نیکل (II) کلرید ۶ آبه $(\text{NiCl}_2 \cdot 6\text{H}_2\text{O})$ از

¹ Graphene oxide (GO)

² Activated carbon (C)

علاوه‌الدین چین خریداری شد. تمام مواد خریداری شده بدون خالص سازی بیشتر در گرید آزمایشگاهی (درجه خلوص بیشتر از ۹۷ درصد) استفاده شد. تمامی آزمایش‌ها با آب دو بار تقطیر انجام شد.

۲-۲ دستگاه و تجهیزات

ویژگی‌های سطحی و ساختار مورفولوژیکی نمونه‌ها با استفاده از میکروسکوپ الکترونی روبشی نشر میدانی (MIRA III, TESCAN FE-SEM) و میکروسکوپ الکترونی عبوری (CM120, TEM, مدل TEM) مشاهده شد.

۳-۲ سنتز گرافن آیروزول (GA) و ساخت الکترود C-GA/NF

گرافن اکسید با روش اصلاح شده هامرز سنتز شد [۱۶]. برای تهیه GA، ۲۵ میلی‌گرم GO در ۱۰ میلی‌لیتر آب به مدت ۳۰ دقیقه در حمام اولتراسونیک (۶۰ درجه سانتی‌گراد) پخش گردید. سپس ۲۰ میلی‌گرم کربن فعال (C) و ۵۰۰ میلی‌گرم اوره به مخلوط افزوده شد و رنگ آن از قهوه‌ای روشن به آبی تیره تغییر کرد. مخلوط در اتوکلاو استیل در دمای ۲۰۰ درجه سانتی گراد به مدت ۶ ساعت گرم شد و پس از شستشو، GA در دمای ۷۰ درجه سانتی گراد منجمد و خشک گردید. برای ساخت الکترود C-GA/NF، فوم نیکل در ۵ میلی‌لیتر محلول ۳ مولار KOH غوطه ور و سپس شسته و خشک شد. فوم نیکل با خمیر حاوی ۸۵٪ GA، ۱۰٪ کربن فعال و ۵٪ PVDF پوشانده شد و تحت فشار ۵ مگا پاسکال قرار گرفت و در دمای ۶۰ درجه سانتی گراد به مدت ۱۲ ساعت خشک شد.

۴-۲ ساخت الکترود Ni-MOF/MXene/Gr

برای تهیه الکترود Ni-MOF/NF، به روش هیدروترمال تک مرحله ای ۸۰ میلی‌گرم NiCl₂·6(H₂O) به همراه ۵ میلی‌لیتر محلول آبی بروموفل (Bro) و ۲۰ میلی‌گرم اوره در ۳ میلی‌لیتر آب حل و به اتوکلاو منتقل شد. پس از غوطه ور کردن زیرلايه NF شسته شده در این محلول، ترکیب حاصل به مدت ۶ ساعت در دمای ۲۰۰ درجه سانتی گراد قرار داده شد در کار دیگری برای افزایش هدایت و ظرفیت خازنی ویژه Ni-MOF، مقادیر بھینه ای از مکسین تیتانیوم کربید (۱۵ میلی‌گرم) و گرافن آئروزول (۱۰ میلی‌گرم) به ترکیب افزوده شد. در نهایت، الکترود Ni-MOF/MXene/Gr/NF تهیه و به مدت ۶ ساعت در دمای ۸۰ درجه سانتی گراد خشک شد. این الکترودها به عنوان آند در یک ابرخازن نامتقارن با الکترود C-GA

به عنوان کاتد استفاده شدند.

۵-۲ ساخت الکترودهای MXene/NF و Bro/NF

برای ساخت الکترود Bro/NF، به روش ترسیبی، فوم نیکل ابتدا به مدت ۶۰ دقیقه در ۵ میلی لیتر محلول ۳ مولار KOH غوطه‌ور و سپس شسته و در دمای ۷۰ درجه سانتی گراد خشک شد. پس از اندازه گیری جرم، فوم نیکل با خمیر حاوی٪۸۵ بروموفنل، ۱۰٪ کربن فعال، ۵٪ PVDF و یک قطره ریز NMP پوشانده شد و تحت فشار ۵ مگا پاسکال به مدت ۱۰ ثانیه فرار گرفت و در دمای ۶۰ درجه سانتی گراد به مدت ۱۲ ساعت خشک شد. به همین ترتیب، برای ساخت الکترود MXene/NF، فوم نیکل با خمیر حاوی٪۸۵ MXene، ۱۰٪ کربن فعال، ۵٪ PVDF و یک قطره ریز NMP پوشانده شد و همان مراحل انجام شد.

۶-۲ اندازه گیری‌های الکتروشیمیایی

تمام اندازه گیری‌های الکتروشیمیایی با استفاده از Autolab (۲.۱.۲) Potentiostat/Galvanostat 302 N (PGSTAT) و نرم‌افزار Nova (نسخه C-GA) با انجام شد. یک سیستم سه الکتروودی شامل فوم نیکل با مواد فعال MOF/MXene/Gr به عنوان الکترود کار، الکترود اشباع Ag/AgCl به عنوان الکترود مرجع و الکترود پلاتین به عنوان الکترود کمکی در محلول ۳ مولار KOH استفاده گردید. ظرفیت ویژه الکترودها نیز از طریق معادله (۱) محاسبه گردید.

$$C=2I \times \int v dt / \Delta m \quad (1)$$

به طوری که I جریان ثبت شده در طول فرآیند دشارژ است، $\int v dt$ مساحت زیر منحنی دشارژ، m جرم ماده فعال در الکترود و ΔV پنجره پتانسیل اعمال شده در طول فرآیند شارژ-دشارژ گالوانوستاتیک (GCD) است [۱۷-۱۸].

۷-۲ ساخت ابرخازن نامتقارن

برای ساخت سلول نامتقارن C-GA//Ni-MOF/MXene/Gr، از کاغذ به عنوان جداکننده استفاده شد. دستگاه با استفاده از دو الکترود و کاغذ آغشته به محلول الکتروولیت ۳ مولار KOH همراه با فشار ۵ مگا پاسکال ساخته شد و در حین اندازه گیری نیز محلول الکتروولیت به بسته بندی مهر و موم شده تزریق شد. برای حذف رطوبت اضافی از ابرخازن نامتقارن C-GA//Ni-MOF/MXene/Gr، دستگاه ساخته شده تحت عملیات حرارتی در دمای ۴۰ درجه سانتیگراد به مدت ۲۴ ساعت در آون

خلاء قرار گرفت. پنجره پتانسیل اعمال شده برای ابرخازن نامتقارن با دو الکترود کاتد و آند روی ۱/۷ ولت تنظیم شد. بر اساس نتایج به دست آمده با استفاده از سیستم سه الکترودی برای هر دو الکترود کاتد و آند، نسبت جرم بهینه با توجه به معادله (۲) تقریباً ۱/۶۶ محاسبه شد. جایی که ΔV نمایانگر پنجره پتانسیل، C نشان دهنده ظرفیت ویژه (Fg^{-1}), m جرم الکترود کار (g) و نمادهای (+) و (-) نشان دهنده قطبیت الکترود است.

$$m+/m- = C_-. \Delta V - +$$

۲

$$/C+. \Delta V$$

همچنین انرژی ویژه E (Wh kg-1) و توان ویژه P (W kg-1) بر اساس معادلات (۳) و (۴) ارزیابی شد:

$$E = I \times \int v dt / m \times 3.6 \quad (3)$$

$$P = E/t \times 3600 \quad (4)$$

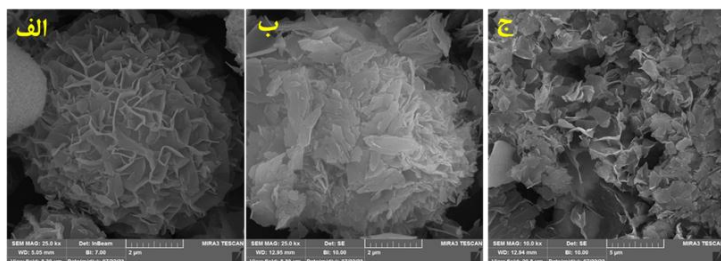
جایی که t نشان دهنده زمان دشارژ و m جرم مجموع مواد در الکترودها است.

۳-نتایج و بحث

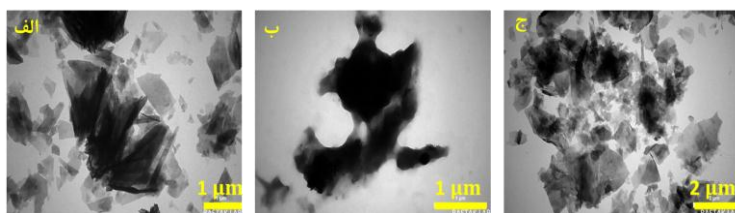
۱-بررسی خواص فیزیکی نانومواد ساخته شده

برای توصیف مورفولوژی از روش‌های FESEM و TEM استفاده شد. تصویر FESEM از Ni-MOF (شکل ۱ الف) نشان می‌دهد که این ترکیب دارای ساختار سه‌بعدی متخلخل به شکل گل کلم است. همچنین، تصویر FESEM مربوط به ترکیب Ni-MOF (شکل ۱ ب) حاکی از سنتر ترکیبات Ni-MOF در لایه‌های MOF/MXene می‌باشد. تصویر Ni-MOF/MXene/Gr (شکل ۱ ج) نیز نشان می‌دهد که در کنار صفحات Ni-MOF و MXene، نانوصفحات گرافن به وجود آمده است. همچنین تصاویر TEM این نانوساختارها نیز در شکل ۲ نمایش داده شده است. شکل ۲ الف تایید می‌کند که ساختار Ni-MOF داری صفحات نازک در قسمت گل کلم آن می‌باشد. تصویر Ni-MOF/MXene در شکل ۲ ب نشان دهنده این است که ساختارهای گل کلمی در صفحات مکسن قرار گرفته اند. همچنین ساختار Ni-MOF/MXene/Gr در شکل ۲ ج حاکی از سنتر این نانوکامپوزیت بخوبی انجام شده

است. این نتایج نشان دهندهٔ تعاملات پیچیده و ساختارهای نوآورانه در این ترکیبات است که می‌تواند به بهبود خواص الکتروشیمیایی آنها کمک کند. وجود گرافن با ویژگی‌های برجسته‌ای مانند رسانایی الکتریکی بالا و پایداری شیمیایی، نقش مهمی در بهبود عملکرد الکترود ابرخازن‌ها ایفا می‌کند. همچنین، MXene با دارا بودن سطح خاص بالا و ظرفیت ذخیره‌سازی یون‌ها، به طور قابل توجهی به ظرفیت خازنی کمک می‌کند. علاوه بر این، Ni-MOF با ساختار متخلخل علاوه بر ایجاد مرکزهای فعال شیمیایی بیشتر، سطح خاص مواد را نیز افزایش می‌دهد. این ساختار متخلخل، دسترس بودن الکتروشیمیایی یون‌های OH^- را به طور قابل توجهی بهبود می‌بخشد، که منجر به افزایش واکنش پذیری سطحی و بهبود ظرفیت خازنی الکتروشیمیایی می‌شود. به عبارت دیگر، حضور فضای متخلخل در ساختار شبکه فلز-آلی، فضا را برای جابجایی آزادتر یون‌های OH^- فراهم می‌کند و به تعامل بهتر آن‌ها با سطح الکترود کمک می‌کند. بنابراین، ترکیب Ni-MOF/MXene/Gr منجر به بهینه سازی رسانایی، پایداری چرخه‌ای، ظرفیت خازنی و کارایی کلی سیستم می‌گردد، که در نهایت منجر به بهبود عملکرد ابرخازن می‌شود.



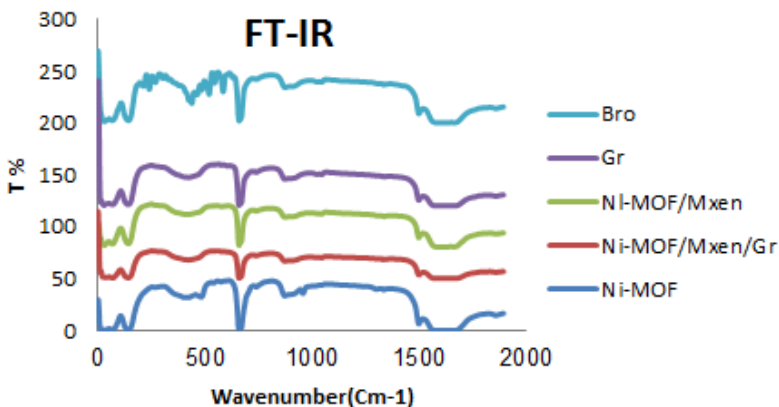
شکل ۱. تصاویر FESEM (الف) Ni-MOF، (ب) Ni-MOF و (ج) MOF/MXene/Gr



شکل ۲. تصاویر TEM (الف) Ni-MOF و (ب) Ni-MXene/Gr

طیف های مادون قرمز تبدیل فوریه (FT-IR) از نانوکامپوزیت های سنتز شده Ni-MOF/MXene, Ni-MXene/Gr, Ni-MOF, Gr, Bro, مقایسه شده است طیف Ni-MOF شبیه به برموفنول آبی (Bro) است. همچنین، نوارهای ارتعاشی کششی قوی مربوط به $C=N$ برای گروه های آمید در محدوده $1300-1200\text{ cm}^{-1}$ مشاهده شد که در طیف OF، شاهدی بر تشکیل پیوندهای کووالانسی می باشد [۱۹]. وجود نوارهای در طیف $Ni-\Pi$ نشان می دهد که حاوی کربوکسیلیک اسید و گروه های کربونیل می باشد [۲۰]، که نشان می دهد Bro با سطح GA از طریق فعل و انفعالات غیرکووالانسی $\Pi-\Pi$ مزدوج شده است. همچنین، جایجایی جزئی باندهای Bro در طیف Ni-MOF احتمالاً به خاطر همین شبکه Π است. در طیف Bro، نوارهای 865 cm^{-1} مربوط به ارتعاشات خمثی C-Br از حلقه هتروآروماتیک و ارتعاشات کششی پیوندهای C-N به ترتیب در آمین های آروماتیک هستند [۲۱]. پیک پهن در 1604 cm^{-1} مربوط به ارتعاشات خمثی N-H است. ارتعاشات پیوندهای N-H باندهای 1480 cm^{-1} و 1388 cm^{-1} می توانند به ارتعاشات حلقه های آروماتیک Bro نسبت داده شود. در مورد طیف GA، باندهای وسیع در ناحیه $1000-1400\text{ cm}^{-1}$ را می توان به ارتعاشات COH و C-O نسبت داد. همچنین، ارتعاشات کششی $C=C$ و $C=O$ در 1558 cm^{-1} مربوط به ساختار گرافیتی GA است. نوار در 1492 cm^{-1} به دلیل ارتعاشات کششی حلقه معطر $C=C$ در ترکیب با پیوندهای $C=N$ و خمش گروه های متیل است [۲۲]. پیک در 1615 cm^{-1} به ارتعاشات کششی $C=O$ غیراشباع نسبت داده می شود [۲۳]. پیک در 1336 cm^{-1} به دلیل برهمنکش نمک های کربوکسیلات از طریق گروه کربونیل است. پیک در 1042 cm^{-1} را می توان به ارتعاشات پیوندهای C-O نسبت داد. این باند پهن دوگانه در 674 cm^{-1} و 655 cm^{-1} مربوط به حلقه های آروماتیک در مولکول است. پیک های 1286 cm^{-1} و 1662 cm^{-1} مربوط به ارتعاشات پیوند آمین آلیفاتیک C-N و $C=O$ به دلیل وجود اوره در نمونه می باشد. نوار قوی در 640 cm^{-1} مربوط به ارتعاش گروه های هیدروکسیل است. گروه ضعیف در 450 cm^{-1} به دلیل ارتعاشات شبکه نیکل در ساختار Ni-MOF می باشد [۲۴-۲۵]. قله ها در 181 cm^{-1} و 224 cm^{-1} و 407 cm^{-1} و 470 cm^{-1} در طیف Bro هستند ولی در طیف Ni-

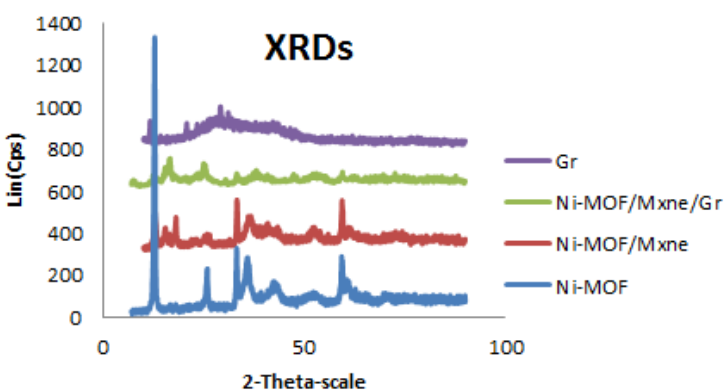
MOF وجود ندارد، که نشان می دهد شکست گروه های مربوطه رخ داده است. پیک های 140 cm^{-1} و 1495 cm^{-1} و 1657 cm^{-1} هم در طیف Bro و هم در Ni-MOF هستند. طیف نوارهای قوی در 1490 cm^{-1} و 1698 cm^{-1} می تواند اختصاص داده شده به ارتعاشات کششی نامتقارن و متقارن پیوندهای C=C و C=O باشد [۲۶-۲۷]. جداسازی پیک های حالت های کششی نامتقارن و متقارن نشان می دهد که ساختار Bro از طریق دو طرفه حالت لیگاند به Ni^{2+} متصل شده است، که نشان دهنده تشکیل یک ساختار MOF می باشد [۲۸-۲۹]. این تغییرات در طیف های FT-IR دلیل و شاهد واضحی بر تایید تشکیل یک ساختار جدید از ترکیب فلز با اتصال دهنده جدید است. (Bro)



شکل ۳.نمودار طیف مادون قرمز تبدیل فوریه (FT-IR) برموفنول آبی (Bro)، گرافن (Gr)، Ni-MOF، Ni-MOF/MXene/Gr، MOF/MXene

الگوهای پراش اشعه ایکس (XRD) ، Ni-MOF/MXene، Ni-MOF، GA (XRD) در شکل ۴ نشان داده شده است. مطابق شکل، در اطراف یک زاویه $2\theta=29/18^\circ$ ، یک قله عریض که نشان دهنده سنتز GA می باشد مشاهده شد (شکل ۴) [۳۰-۳۱]. همچنین با توجه به معادله برآگ، فواصل بین لایه ها در GA، ۳/۵۱ انگستروم محاسبه شد. ساختار کریستال و خلوص نمونه Ni-MOF سنتز شده توسط XRD مورد بررسی قرار گرفت. قله های شاخص Ni-MOF در زوایای $12/83^\circ$ توسط XRD مورد بررسی قرار گرفت.

و ۲۵/۸۸ و ۳۳/۲۳ و ۵۹/۴۲ می تواند به صفحات (۰۰۱)، (۰۰۲) و (۰۰۱) و (۱۱۰) یک ساختار شش ضلعی، مربوط باشد (شکل ۴) [۳۲]. الگوی Ni-MOF XRD شبیه به₄ Ni₃(NO₃)₂(OH) است (JCPDS no: 220752) [۳۴-۳۳]. الگوی XRD از Ni-MOF/MXene/Gr، با پیک های برجسته در ۱۲/۹۲ و ۱۶/۶۸ و ۲۴/۹۷ و ۳۳/۲۳ و ۳۸/۰۸ و ۵۹/۳۹ که مطابق با صفحات (۱۱۰)، (۰۰۱)، (۰۰۲)، (۱۰۰)، (۱۰۱)، و (۱۱۰) می باشد نشان می دهد که ساختار بلوری دارد [۳۶-۳۵]. با استفاده از معادله شر و ازپیک های XRD، میانگین اندازه ذرات برای Ni-MOF ۳ تا ۶ نانومتر و برای Ni-MOF/MXene/Gr ۶ تا ۱۲ نانومتر تخمین زده شد. همچنین با توجه به معادله برآگ جداسازی بین لایه ها در Ni-MOF/MXene/Gr در حدود ۸/۳۶ آنگستروم محاسبه شد. همچنین فاصله بین لایه های Ni-MOF حدود ۵/۶۸ آنگستروم محاسبه شد. این افزایش مقدار فاصله در Ni-MOF/MXene/Gr نشان دهنده ایجاد یک سطح بزرگ و متخلخل پس از افزودن MXene می باشد.

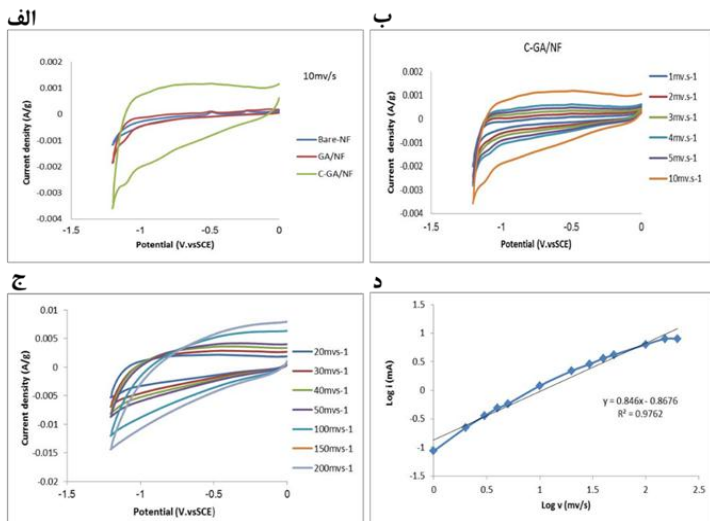


شکل ۴. مقایسه الگوهای پراش اشعه ایکس (XRD) مواد و ترکیبات سنتز شده

۲-۳ بررسی رفتار الکتروشیمیای C-CA/NF به عنوان کاتد

در این تحقیق، منحنی های CV برای زیرلایه فوم نیکل و الکترودهای NF و GA/NF در یک سلول سه الکترودی با استفاده از الکترولیت KOH ۳M بررسی قرار گرفته است. آزمایش ها در سرعت اسکن ثابت ۱۰ میلی ولت بر ثانیه و همچنین در سرعت های اسکن مختلف در محدوده ۱ تا ۲۰۰

میلیولت بر ثانیه برای الکترود C-GA/NF انجام و نتایج در شکل ۵ نمایش داده شده است. از منحنی های CV (شکل ۵ الف) و معادله (۱)، ظرفیت های ویژه زیر لایه NF، الکترودهای GA/NF و C-GA/NF به ترتیب برابر با $66/5$ ، $102/4$ و $372/5$ فاراد بر گرم محاسبه شده است. ظرفیت الکترود C-GA به طور قابل توجهی بالاتر از



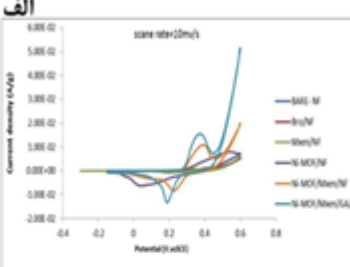
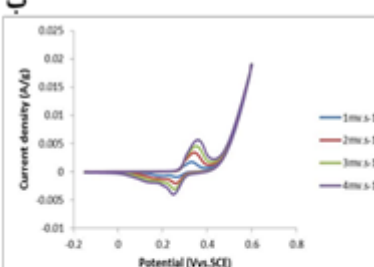
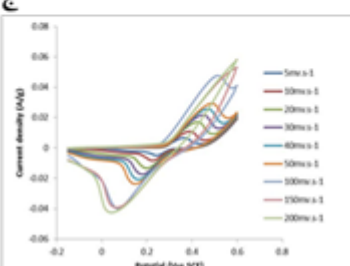
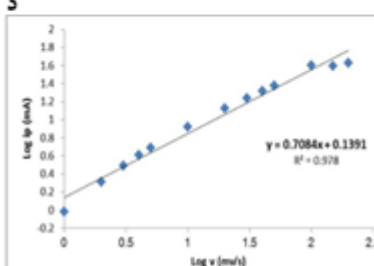
ظرفیت الکترود GA است که این امر ممکن است به دلیل قرار گرفتن C در بین لایه های گرافن و جلوگیری از خودانباشتگی صفحات گرافن باشد. همچنین، منحنی ولتاوی زیر لایه NF نشان می دهد که ظرفیت این الکترود پایین است و بنابراین در افزایش ظرفیت کلی نقش مؤثری ندارد. مکانیسم های ذخیره سازی بار الکترود C-GA با ثبت منحنی های CV در سرعت های اسکن مختلف مورد بررسی قرار گرفت (شکل ۵ ب و ج). شکل ۵ د نمودارهای $\log i_a$ در برابر $\log v$ الکترود C-GA را نشان می دهد. پاسخ های ولتاوی الکترودها بر اساس معادله $I = av^b$ محاسبه شد، که در آن I جریان (آمپر)، سرعت اسکن (ولت بر ثانیه) و a و b ضرایب دلخواهی هستند که از نمودارهای CV به دست آمده اند. بر اساس مقدار b، در $b=0.5$ جریان تحت تأثیر محدودیت انتشار است، در حالی که برای $b=1$ ، جریان به صورت خازنی است. بنابراین، مقدار برابر با 0.97 (شکل ۵ د) برای الکترود C-GA نشان دهنده خواص خازنی در فرآیندهای انتقال بار است.

شکل ۵. ولتاژگرام های (CV) (الف) بستر فوم نیکل، الکترودهای NF و GA/NF با C-GA/NF و GA/NF سرعت اسکن ثابت ۱۰ میلی ولت بر ثانیه در سلول سه الکترودی در الکتروولیت ۳ M KOH (ب) الکترود C-GA/NF در سرعت اسکن های مختلف از ۱ تا ۱۰ میلی ولت بر ثانیه، (ج) در سرعت اسکن های مختلف از ۲۰ تا ۲۰۰ میلی ولت بر ثانیه (د) نمودار $\log v$ بر حسب $\log i$ بدست آمده از نمودارهای ب و ج.

۳-۳ کاربرد Ni-MOF/MXene/Gr/NF به عنوان آند

منحنی های CV الکترودهای Ni-, Ni-MOF/NF, Mxene/NF, Bro/NF, Ni-MOF/MXene/Gr و Ni-MOF/Gr/NF, MOF/MXene/NF ۱۰ میلی ولت بر ثانیه (شکل ۶ الف) و در سرعت های اسکن مختلف در بازه ۱ تا ۲۰۰ میلی ولت بر ثانیه (شکل ۶ ب و ج) برای الکترود Ni-MOF/MXene/Gr در یک سیستم سه الکترودی در الکتروولیت ۳ M KOH نمایش داده شده است. همان طور که از جدول ۱ نتیجه می شود، تفاوت قابل توجهی در ظرفیت Ni-MOF/MXene/Gr نسبت دیگر الکترودها وجود دارد، که می توان آن را به افزایش سطح تماس، ایجاد ساختار متخلخل و حفره های بزرگ برای انتقال سریع یون ها، و نفوذ الکتروولیت به ساختار Ni-MOF/MXene/Gr نسبت داد. پیک ردوس مشاهده شده برای Ni-MOF/MXene/Gr نشان می دهد که این ماده رفتار شبیه خازنی یا شبیه باتری را از خود نشان می دهد که به ورود و خروج معکوس یون های OH مرتبط است. همچنین مقدار $b=0.71$ به دست آمده برای الکترود Ni-MOF/MXene/Gr (شکل ۶ د) نشان می دهد که الکترود ساخته شده خواص شبیه باتری-خازنی دارد.

جدول ۱- ظرفیت ویژه الکترودهای تهیه شده

الکترود	Bro/NF	Mxene/NF	Ni-MOF/NF	Ni-MOF/Gr/NF	Ni-MOF/MXene/NF	Ni-MOF/MXene/Gr	Ni-C-GA/NF
ظرفیت	۱۲۷.۲	۶۳.۷۴	۶۲۸.۵	۷۶۳	۸۰۸.۸	۸۴۵	
ویژه (F.g ^{-۱})							
الف							
ب							
ج							
د							

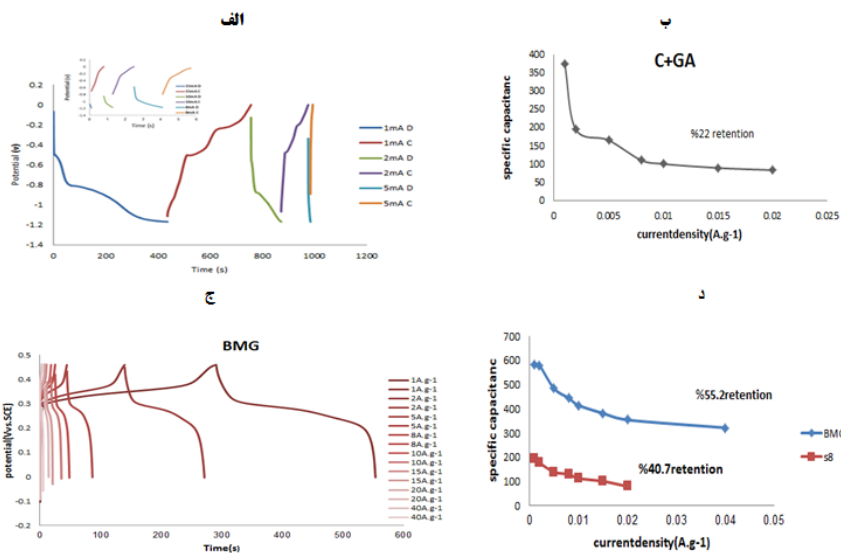
شکل ۶. (الف) منحنی های ولتاوموگرام (CV) الکترودهای در Ni-MOF/MXene/Gr و Ni-MOF/Gr/NF و Ni-MOF/MXene/NF و Ni-C-GA سرعت اسکن ۱۰ میلی ولت بر ثانیه. (ب) الکترود Ni-MOF/MXene/Gr در سرعت اسکن های ۱ تا ۴ میلی ولت بر ثانیه و (ج) در سرعت اسکن های ۵ تا ۲۰۰ میلی ولت بر ثانیه (د) نمودار $\log i_p$ در مقابل $\log v$ بدست آمده از ولتاوموگرام های ب و ج.

۴-۳ عملکرد الکتروشیمیایی الکترودهای C-GA/NF و

MOF/MXene/Gr/NF

به منظور ارزیابی ظرفیت و سرعت عملکرد الکترودهای Ni-C-GA/NF و MOF/MXene/Gr/NF منحنی های شارژ-دشارژ (GCD) هر کدام ثبت شد (شکل ۷). افت کم IR در نمودار شارژ-دشارژ الکترود C-GA/NF به دلیل وجود GA در ساختار سه بعدی می باشد که منجر به هدایت الکتریکی خوب و مقاومت داخلی پایین ماده می شود (شکل ۷ الف). رابطه بین ظرفیت های ویژه و چگالی جریان الکترود C-GA/NF نشان می دهد که در جریان های g^{-1} A ۲۰-۱ حدود ۲۲٪ از ظرفیت ویژه در جریان های اولیه حفظ شده است (شکل ۷ ب). منحنی های GCD الکترود Ni-MOF/MXene/Gr/NF (شکل ۷ ج) در چگالی های جریان مختلف از A g^{-1} ۴۰-۱ و در حین فرآیند دشارژ، سکوهای مسطحی را نشان می دهند که به واکنش های اکسیداسیون و کاهش فلز نیکل در محیط قلیایی در ساختار شبکه فلز-آلی می توان نسبت داد. این نتایج با داده های CV سازگار بوده و تأیید می کنند که الکترود Ni-MOF/MXene/Gr/NF به طور مشابهی مانند باتری ها عمل می کند.

ظرفیت ویژه الکترود Ni-MOF/MXene/Gr/NF محاسبه شد. عامل اصلی در افزایش قابل توجه انرژی ذخیره سازی الکترود Ni-MOF/MXene/Gr/NF وجود یک ساختار لایه ای خاص به عنوان چارچوبی است که سینتیک انتقال الکترون را بهبود می بخشد و ویژگی های شبه باتری را به آن می دهد. این ویژگی، مسیرهای انتقال یون را در ماده کوتاه تر کرده و وجود حفره ها و سطوح بزرگ، تماس بیشتری با الکتروولیت ایجاد می کند که تضمین کننده ورود و خروج یون های OH^- است و ممکن است ظرفیت ذخیره سازی الکترود را افزایش دهد. در واقع، حفره های متعدد به عنوان کانال های انتقال الکtron در این سیستم عمل می کنند. رابطه بین ظرفیت های ویژه و چگالی جریان الکترودهای Ni-MOF/MXene/Gr/NF در شکل ۷ ب نشان داده شده است. همانطور که مشاهده می شود، حتی در چگالی جریان g^{-1} A ۴۰، ظرفیت ها همچنان حفظ می شوند که نشان دهنده پایداری ماده در سرعت های بالا است.

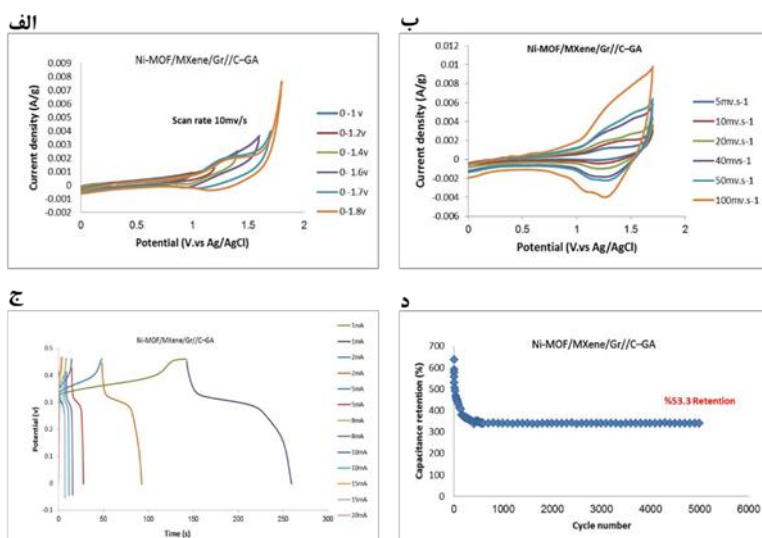


شکل ۷. نمودار شارژ-دشارژ (GCD) الکترودهای (الف) C-GA/NF در جریان های ۱تا ۵ میلی آمپر و نمودار درونی در جریانهای بالا از ۸ تا ۱۵ میلی آمپر و (ج) KOH ۳ M نمودار ظرفیت ویژه بر حسب چگالی جریان های مختلف در الکتروولیت Ni-MOF/MXene/Gr/NF (ب) و (د) C-GA/NF جریان الکترودهای (ب) C-GA/NF و (د) C-GA/NF

۵-۳ بررسی کارکرد دو الکترودی عنوان Ni-MOF/MXene/Gr//C-GA شبکه باتری

پس از بررسی کارایی الکترودهای ساخته شده در سیستم سه الکترودی، دستگاه دو الکترودی نامتقارن Ni-MOF/MXene/Gr//C-GA ساخته شد. این دستگاه شامل قطب منفی C-GA/NF و قطب مثبت Ni-MOF/MXene/Gr است. الکتروولیت مورد استفاده، محلول ۳ مولار KOH می باشد و یک غشای سلولزی به عنوان جداکننده در این سیستم به کار رفته است. برای بدست آوردن محدوده پتانسیل مناسب دستگاه، CV های دو الکترودی Ni-MOF/MXene/Gr//C-GA با سرعت اسکن 10 mV s^{-1} در محدوده ی پتانسیل های متفاوت ثبت شد (شکل ۸ الف). با توجه به نتایج بدست آمده پنجره پتانسیل دستگاه نامتقارن ساخته شده برابر $1/70$ ولت بود. این موضوع از این جهت بسیار حائز اهمیت است که بیشتر بودن محدوده پتانسیل به زیادتر شدن انرژی و توان دستگاه مرتبط می شود. در شکل ۸ ب، منحنی های

دستگاه نامتقارن Ni-MOF/MXene/Gr//C-GA با سرعت اسکن ۵ تا 100 mV s^{-1} ثبت شده است. از داده‌های CV می‌توان استنباط کرد که سیستم ذخیره‌سازی هم دارای سهم خازنی و هم سهم فارادی است. اندازه گیری‌های GCD برای ارزیابی ظرفیت، سرعت و عمر چرخه‌ای دستگاه در شکل ۸ نشان داده شده است. داده‌های GCD دستگاه نامتقارن Ni-MOF/MXene/Gr//C-GA در مقادیر مختلف جریان از ۱ تا 20 A g^{-1} نشان می‌دهند که دستگاه نامتقارن به دلیل طولانی بودن زمان دشارژ و همچنین سکوی دشارژ زیاد، علاوه بر اینکه دستگاه نامتقارن دارای ظرفیت بالایی می‌باشد همچنین نشان دهنده رفتار باتری مانند آن است. ظرفیت ویژه با میانگین g^{-1} ۴۵۹ F در چگالی جریان 1 A g^{-1} برای Ni-GA، وجود منافذ و مساحت سطحی بزرگ ایجاد شده توسط C-GA، مشاهده شد که به دلیل ساختار اسفنجی و متخلخل MOF/MXene/Gr نامتقارن با ظرفیت 20 F g^{-1} می‌باشد. همچنین توانایی ابرخازن نامتقارن با ظرفیت 20 A g^{-1} در چگالی جریان 20 A g^{-1} نشان دهنده عملکرد عالی آن در جریان‌های بالا است.



شکل ۸. منحنی‌های ولتاوموگرام (CV) دستگاه ابرخازن نامتقارن Ni-MOF/MXene/Gr//C-GA (الف) در محدوده پتانسیل‌های ۱/۰ تا ۰/۸ ولت در الکترولیت آبی ۳ مولار KOH. (ب) در

سرعت های اسکن ۵ تا ۱۰۰ میلی ولت بر ثانیه، (ج) نمودار گالوانو استایک شارژ-دشارژ (GCDs) دستگاه نامتقارن در چگالی جریان های ۱ تا ۲۰ آمپر بر گرم در الکتروولیت آبی ۳ مولار KOH (c) پایداری چرخه ای دستگاه بیش از ۵۰۰۰ چرخه با چگالی جریان $A\ g^{-1}$

۴- بحث و نتیجه گیری

به طور خلاصه، با استفاده از یک روش کم هزینه و سریع، دو ماده جدید C-GA و Ni-MOF/MXene/Gr، یکی به عنوان الکترود منفی با خواص خازنی و دیگری به عنوان الکترود مثبت با خواص باتری مانند، به صورت نامتقارن تهیه شد. این ابرخازن مونتاژ شده C-Ni-MOF/MXene/Gr//C-ظرفیت ویژه ۶۳۷ Fg-1 در Ag-1، انرژی ویژه $22/8\ W\ h\ kg^{-1}$ و توان ویژه $69/0\ kW\ kg^{-1}$ بدست آمد. و همچنین ظرفیت باقیمانده ۵۵٪/۲ ظرفیت اولیه بعد از طی ۵۰۰۰ چرخه شارژ-دشارژ در چگالی جریان ۸ Ag-1 نشان دهنده پایداری و طول عمر چرخه ای بالای دستگاه مورد نظر می باشد که مناسب جهت استفاده در تجهیزات نظامی و هوا فضایی می باشد.

۵- تشکر و قدردانی

در این قسمت نویسنده‌گان می توانند در صورت لزوم مراتب تشکر و قدردانی خود را از حامیان تحقیق که به صورت غیرمستقیم در پیشبرد آن نقش داشته‌اند، بیان کنند.

۶- تعارض منافع

نویسنده‌(گان) اعلام می‌دارند که در مورد انتشار این مقاله تضاد منافع وجود ندارد. علاوه بر این، موضوعات اخلاقی شامل سرقت ادبی، رضایت آگاهانه، سوء رفتار، جعل داده‌ها، انتشار و ارسال مجدد و مکرر توسط نویسنده‌گان رعایت شده است.

۷- دسترسی آزاد

این نشریه دارای دسترسی باز است و اجازه اشتراک (تکثیر و بازاریابی محتوا به هر شکل) و انطباق (بازترکیب، تغییر شکل و بازسازی بر اساس محتوا) را می‌دهد.

-منابع

- [1] Hierarchical 3D electrodes for electrochemical energy storageNat. Rev. Mater., 4 (2019), pp. 45-60
- [2] X. Zhang, Q.J. Wang, K.L. Harrison, S.A. Roberts, S.J. HarrisPressure -driven interface evolution in solid-state lithium metal batteries Cell Rep. Phys. Sci., 1 (2020), p. 100012
- [3] .Zhang, F.; Xiao, F.; Dong, Z. H.; Shi, W., Synthesis of polypyrrole wrapped graphene hydrogels composites as supercapacitor electrodes. Electrochimica Acta 2013, 114, 125-132.
- [4] D. Larcher and J. M. Tarascon, Nat. Chem., 2015, 7, 19–29.
- [5] K. Zhang, X. Han, Z. Hu, X. Zhang, Z. Tao and J. Chen, Chem Soc. Rev., 2015, 44, 699–728.
- [6] S. Sun, D. Rao, T. Zhai, Q. Liu, H. Huang, B. Liu, H. Zhang, L. Xue and H. Xia, Adv. Mater., 2020, 32, 1–11.
- [7] J. Vatamanu, Z. Hu, D. Bedrov, C. Perez and Y. Gogotsi, J. Phys. Chem. Lett., 2013, 4, 2829–2837.
- [8] G. Z. Chen, Int. Mater. Rev., 2017, 62, 173–202.
- [9] Y. Wang, Y. Song and Y. Xia, Chem. Soc. Rev., 2016, 45, 5925–5950.
- [10] Y. Shabangoli, M. F. El-Kady, M. Nazari, E. Dadashpour, A. Noori, M. S. Rahmanifar, X. Lv, C. Zhang, R. B. Kanerand M. F. Mousavi, Small, 2020, 16, 1–12.
- [11] Q. Zhou, G. Li, Y. Zhang, M. Zhu, Y. Wan and Y. Shen, Anal. Chem., 2016, 88, 9830–9836.
- [12] Sheberla, D., Bachman, J. C., Elias, J. S., Sun, C. J., Shao-Horn, Y., & Dinca, M. (2017). Conductive MOF electrodes for stable supercapacitors with high areal capacitance. Nature Materials, 16(2), 220-224.
- [13] D. Sheberla, J. C. Bachman, J. S. Elias, C. J. Sun, Y. Shao-Horn and M. Dinca, Nat. Mater., 2017, 16, 220–224.
- [14] P. Du, Y. Dong, C. Liu, W. Wei, D. Liu and P. Liu, J. ColloidInterface Sci., 2018, 518, 57–68.
- [15] Supercapacitors for Military Applications: A Review IEEE Transactions on Industrial Electronics. Handbook of Nanocomposite Supercapacitor Materials I, Book Subtitle: Characteristics, ed. by K.K. Kar (eBook ISBN:978-3-030-52359-6, Hardcover ISBN:978-3-030-52358-9)
- [16] Y. Xu, H. Bai, G. Lu, C. Li and G. Shi, J. Am. Chem. Soc., 2008, 5856–5857

- [17]A. Bahaa, J. Balamurugan, N. H. Kim and J. H. Lee, *J. Mater. Chem. A*, 2019, 7, 8620–8632.
- [18]E. Azizi, J. Arjomandi and J. Y. Lee, *Electrochim. Acta*, 2019, 298, 726–734.
- [19]K. Fic, A. Płatek, J. Piwek, J. Menzel, A. Ślesiński, P. Bujewska, P. Galek and E. Fraćkowiak, *Energy StorageMater.*, 2019, 22, 1–14.
- [20]B. D. Ossonon and D. Bélangier, *RSC Adv.*, 2017, 7, 27224–27234.
- [21]P. Kakvand, M. S. Rahmanifar, M. F. El-Kady, A. Pendashteh, M. A. Kiani, M. Hashami, M. Najaφ, A. Abbasi, M. F. Mousavi and R. B. Kaner, *Nanotechnology*, 2016, 27, 315401.
- [22]C. Párkányi, C. Boniface, J. J. Aaron and M. Maaφ, *Spectrochim. Acta, Part A*, 1993, 49, 1715–1725.
- [23]M. S. Kumar and S. Dash, *Surf. Interfaces*, 2018, 12, 1–7.
- [24]F. Behnoudnia and H. Dehghani, *Dalton Trans.*, 2014, 43, 3471–3478.
- [25]J. Tientong, S. Garcia, C. R. Thurber and T. D. Golden, *J. Nanotechnol.*, 2014, 1, 1–6.
- [26]D. Sheberla, J. C. Bachman, J. S. Elias, C. J. Sun, Y. Shao-Horn and M. Dinca, *Nat. Mater.*, 2017, 16, 220–224.
- [27]J. Yang, Z. Ma, W. Gao and M. Wei, *Chem.–Eur. J.*, 2017, 23, 631–636.
- [28]S. Gao, Y. Sui, F. Wei, J. Qi, Q. Meng, Y. Ren and Y. He, *J. Colloid Interface Sci.*, 2018, 531, 83–90.
- [29]C. Cui, J. Wang, Z. Luo, J. Wang, C. Li and Z. Li, *Electrochim. Acta*, 2018, 273, 327–334.
- [30]Y. Xu, Z. Lin, X. Huang, Y. Wang, Y. Huang and X. Duan, *Adv. Mater.*, 2013, 40, 5828.
- [31]B. Song, C. Sizemore, L. Li, X. Huang, Z. Lin, K. S. Moon and C. P. Wong, *J. Mater. Chem. A*, 2015, 3, 21789–21796.
- [32]J. P. Graham, M. A. Rauf, S. Hisaindee and M. Nawaz, *J. Mol. Struct.*, 2013, 1040, 1–8.
- [33]J. Wang, J. Li, Y. Liu, M. Wang and H. Cui, *J. Mater. Sci.*, 2021, 56, 3011–3023.
- [34]L. Bin Kong, L. Deng, X. M. Li, M. C. Liu, Y. C. Luo and L. Kang, *Mater. Res. Bull.*, 2012, 47, 1641–1647.
- [35]P. Du, Y. Dong, C. Liu, W. Wei, D. Liu and P. Liu, *J. ColloidInterface Sci.*, 2018, 518, 57–68.
- [36]M. Shi, M. Cui, L. Kang, T. Li, S. Yun, J. Du, S. Xu and Y. Liu, *Appl. Surf. Sci.*, 2018, 427, 678–686.
- [37]Moradi, S. A. H., & Ghobadi, N. (2024). Fabrication of composite GO/NiFe₂O₄MnFe₂O₄CoFe₂O₄ anode material: Toward high performance hybrid supercapacitors. *Microscopy Research and Technique*, 87(10), 2459-2474.